ОБЩАЯ И ФИЗИЧЕСКАЯ ХИМИЯ

УДК 541.124.7:518.5

К МЕХАНИЗМУ РАЗВЕТВЛЕНИЯ ЦЕПЕЙ В ЦЕПНЫХ РАЗВЕТВЛЕННЫХ РЕАКЦИЯХ Т

А. А. ГРИГОРЯН и А. А. МАНТАШЯН

Ниститут химической физики АН Армянской ССР, Ереван Поступило 17 VI 1983

Методом математического моделирования с помощью ЗВМ провнализирована кинетическая модель цепной разветвленной реякции, включающая два различных разветвления. Исследовалось глияние параметров модели на поведение кинетических кривых выгорания. Результаты анализа показывают, что модель с «двойным разветвлением» может объяснить экспериментально наблюдаемые в цепных разветвленных процессах аномально высокие (более 50%) выгорания реагентов при достижении максимальной скорости, в также переход реакции от режима медленного протекания к режиму с резким нарастанием скорости.

Рис. 4, табл. 3, библ. ссылок 16.

Обычно вырожденное разветвление в цепных разветвленных процессах [1] овязывают с одним конкретным промежуточным продуктом. Однако часто окисление сопровождается образованием большого многообразия промежуточных продуктов, и тем большим, чем сложнее исходный углеводород [2].

В настоящей работе проведен кинетический анализ схемы цепной разветвленной реакции, в которой разветвляющий промежуточный продукт взаимодействует с радикалами, приводя к образованию другого активного молекулярного продукта или свободного радикала, способного начать новое разветвление. Такое разветвление, назовем его условно «двойным разветвлением», очевидно, должно приводить к усилению эффекта размножения активных центров, а следовательно, и к более резкому возрастанию скорости на определенных стадиях процесса. Следует отметить, что возможен и другой вариант «двойного разветвления», когда исходные реагенты с самого начала приводят к параллельному образованию двух промежуточных продуктов. Поскольку образование и расходование участвующих в актах разветвления частиц связано с общим ходом цепного процесса, то следует ожидать взаимовлияния стадий разветвления.

Поставленная задача решалась методом математического моделирования на ЭВМ «БЭСМ-6». Использовалась с некоторыми изменениями, жасающимися ввода и обработки данных, программа [3], предназначенная для решения задач химической кинетики, основанная на методе, предложенном Павловым и Повзнером [4] для интегрирования «жестких» систем дифференциальных уравнений.

Ниже в упрощенном виде приводится модель, включающая «двойное разветвление»:

$$A \xrightarrow{X} Y_{1} \xrightarrow{(A)} nX$$

$$\downarrow X \qquad \downarrow X \qquad \uparrow$$

$$\downarrow X \qquad \uparrow X$$

где A — исходные реагенты, Y, и Y_2 — первый и второй разветвляющие продукты, X — радикалы, $n \geqslant 2$.

В зависимости от типа реакции продолжения цепи Y₁—альдегид ли-

бо пережись, Y2—надкислота либо радикал.

Гипотетическая схема реакции, отражающая данную модель (на примере окиоления углеводородов), приведена в табл. 1. С целью упрощения анализа в схему включены реакции, обеспечивающие основные каналы развития цепного процесса. Развитие и обрыв цепей представлены линейными реакциями овободных радикалов.

Таблица 1

-	Тиохици Т					
N€	Реакции	A	E			
1	$RH + O_2 \longrightarrow R + HO_2$	6.1012	210*			
2	$\dot{R} + \dot{O}_2 \stackrel{a}{\rightleftharpoons} R\dot{O}_2$	6-1010	0			
3	RO ₂ → R'CHO + OH	1013	151			
4	$OH + RH \longrightarrow R + H_2O$	1012	21			
5	$R'CHO + O_2 \longrightarrow R'CO + HO_2$	6.1012	163*			
6	$R'\dot{C}O + O_2 \xrightarrow{a} R'\dot{C}O_3$	6-1010	. 0			
7	$R'CO_3 + RH \longrightarrow R'CO_3H + R$	1011	33,5			
8	R'CO₃H → R'CO₂ + OH	1013	151*			
9	$R'CO_2 + RH \longrightarrow R'CO_2H + R$	6.1012	42			
10	$HO_2 + RH \longrightarrow R + H_2O_3$	1011	71			
11	$R'CO_3 + R'CHO \longrightarrow R'CO_3H + R'CO$	1011	33,5			
12	$R'CO_2 + R'CHO \longrightarrow R'CO + R'CO_2H$	6-1012	42			
13	$OH + R'CHO \longrightarrow R'CO + H_2O$	6.1012	23			
14	НО₂ —→ обрыв	$K_{24} = 4,3 \cdot 10^{-2}$				
15	R'CO₃ — обрыв	$K_{15} = 6,4$				
16	ОН —→ обрыв	$K_{16} = 1.8$	-10-1			
17	RO₂ — обрыв	$K_{17} = 1.8$				
18	R'CHO → нецепной расход	$K_{18} = 4,6$				
19	R'CO₃Н → нецепной расход	K ₁₉ = 5,3				

A— предэкспонент константы скорости, c^{-1} для моно- и $c M^3 \cdot MOAb^{-1} \cdot c^{-3}$ для бимолекулярных реакций. E— энергия активации, $\kappa \mathcal{L} \mathcal{M} | MOAb$. Константы скорости, отмеченные знаком (*), варьировались.

Согласно приведенной в табл. 1 схеме, участвующий в реакции (5) первого разветвления альдегид R'CHO образуется в линейной реакции (3) продолжения цепи, хотя цепь может развиваться и по другому химическому механизму, включая другие линейные или квадратичные реакции, расоматриваемые в литерятуре. Реакции (11), (12), (13) цепного расходования первого разветвляющего продукта являются основным источником образования радикалов R'CO, приводящих к образованию продукта R'CO₃H, который обеспечит второе разветвление по реакции (8).

Цель работы ограничивается установлением роли двух разветвлений, их взаимовлияния и вклада каждого в отдельности. Поэтому для реакций продолжения цепей выбрано минимальное число стадий. Естественно, не расомотрены все возможные реакции продолжения цепи одного и того же радикала или всех радикалов. Тем более, не ставилась задача полного количественного описания экопериментально наблюдаемых закономерностей. Поэтому, в частности, не расоматриваются другие реакции перекисного радикала RO₂ с углеводородом и альдегидом. Рассмотрены соответствующие реакции более активных перекисных радикалов R'CO₃, способных легче отрывать атом Н [5]. Реакции продолжения цепи с участием малоажтивных при данных условиях радикалов НО₂ не играют решающей роли.

Анализ проведен следующим образом. На основе литературных данных взят исходный набор констант скоростей отдельных элементарных стадий (пабл. 1). Изучалась кинетика выгорания углеводорода при различных соотношениях скоростей реакций разветвления, что достигалось путем изменения констант скорости соответствующих элементарных стадий. Получены также решения при различных значениях константы скорости гибели I-го и II-го разветвляющих продуктов К₁₈ и К₁₉, а также К₁, К₁₅, К₁₇ и др.

Для реакции (1) использовалась константа скорости, соответствующая как помогенному зарождению с нормальным предэкспонентом и энергией активации, равной эндотермике реакции 210 кДж/моль) [6], так и гетерогенному зарождению, идущему со значительно большими окоростями и меньшей энергией активации, примерно 155÷168 кДж/моль [7]. Константы скорости обратных реакций (26) и (66) рассчитаны по значениям констант равновеюмя и прямой реакции согласно [8]. K_3 взята по [9, 10], K_{10} , K_4 и K_{13} соответствуют оправочным данным [11]. Для реакции разветвления (5) по тем же соображениям, что и для реакции (1), рассматриванись значения как констант скорости гомогенного зарождения с энергией активации Е₅=172 кДж/моль [6], так и гетерогенного [12]. Значение конспанты окорости реакции разветвления (8) также варьировалось (в пересчете на энергию активации $E_8 = 151 \div 184 \ \kappa \text{Дж/моль} \ [13, 14])$, охватывая значение, равное энергии диосоциации О-О овязи в пережисных соединениях [15]. К7, К9, К11, К12. оценены на основе термохимических данных [6, 15] по уравнению Семенова-Поляни [1]. Значения констант скорости реакций обрыва цепи соответствуют оценкам [1] для кинетической области. K_{13} и K_{19} , приведенные в табл. 1, эффективные и также варьировались.

Расоматривалась изотермическая реакция при начальных услови-

ях: $T = 600 \text{ K}, [RH]_0 = [O_2]_0 = 3,9 \cdot 10^{-6} \text{ моль/см}^3.$

Результаты анализа

Для выяснения влияния второго разветвления на жинетику процесса варьировалась константа скорости реакции (8) при постоянной константе скорости реакции (5) первого разветвления. На рис. 1 приводятся кинетические кривые расхода углеводорода при $K_s = 80,6 \ cm^3 \cdot моль^{-1} \cdot c^{-1}$, $K_{18} = 4.6 \cdot 10^{-3} \ c^{-1}$ и различных значениях K_8 . В условиях, когда второе разветвление не работает ($K_8=0$), процесс протекает автокаталитически с достижением максимальной скорости W_{max} при $28^{\mathrm{o}}/_{\mathrm{o}}$ выгорания углеводорода (кр. і). Реакция второго разветвления (8) приводит к козрастанию максимальной скорости, увеличению выпорания и сокращению времени достижения максимальной скорости. Если в отоутствие второго разветвления (кр. 1) и при относительно слабом его вкладе (кр. 2) кинетические привые достаточно плавные, то с усилением его вклада наблюдается нарушение плавного хода процесса (кр. 3 и 4). Остановка процесса в этих условиях связана с тем, что к моменту достижения W_{тах} наблюдается практически полное выгорание исходного реагента (в данном олучае О2). Влияние второго разветвления иллюстрирует также рис. 2, на котором приводятся проценты выгорания η_- на максимальной скорости (кр. 2) в случае двух разветвлений (К₅=80.6 см³. \cdot моль $^{-1} \cdot c^{-1}$). Полученные результаты показывают также, что от режима протекания реакции с достижением максимальной скорости при малых η_{-} реакция может переходить в режим, когда W_{\max} наступает при $\eta_m > 50^{\circ}/_{0}$.

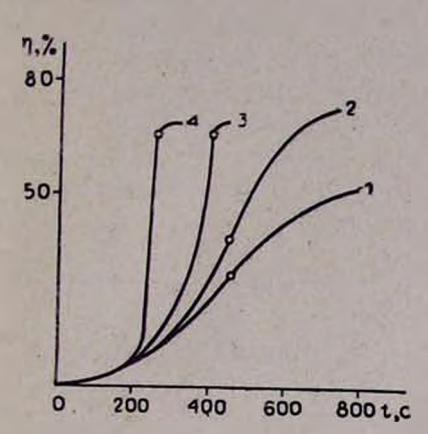
В условиях, когда второе разветвление не работает (K_8 =0), увеличение K_8 , естественно, тоже может привести к сокращению времени τ_m достижения W_{\max} и к увеличению выгорания. Однако, в согласии с [16], в данном случае η_m не превышает $50^{\circ}/_{\circ}$ (кр. 1).

Взаимное влияние двух разветвлений наглядно иллюстрируется данными, представленными на рис. 3, где приводится кинетика окоростей реакций разветвления (5) и (8) для двух случаев, когда: работает только первое разветвление (кр. 1) и работают оба разветвления (кр. 2 и 3). Данные рис. 3 соответствуют кинетическим кривым выгорания 1 и 2 на рис. 1.

Как видно из рис. 3 (кр. 1), в отсутствие второго разветвления скорость реакции (5), нарастая, плавно переходит через максимум и далее медленно падает. В случае двух разветвлений достигаются большие значения скорости первого разветвления (кр. 2), т. е. второе разветвление в конечном счете опособствует более эффективному протеканию первого разветвления. Это в свою очередь приводит к усилению второго разветвления (кр. 3).

Таким образом, когда одно первое разветвление не приводит к достаточно эффективному развитию процесса, участие второго разветвле-

ния усиливает первое, и процесс переходит в более быстрый режим протекания.



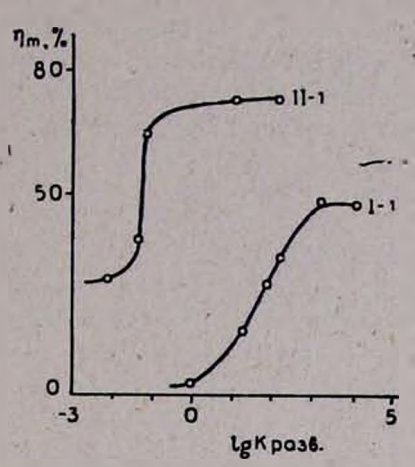


Рис. 2. Зависимость выгорания углеводорода при максимуме скорости: от константы скорости второго разветвления (II — 1) при $K_5 = 80,6c M^3 \cdot ... NOAb^{-1} \cdot c^{-1}$, от константы скорости первого разветвления (I — 1) при $K_8 = 0$.

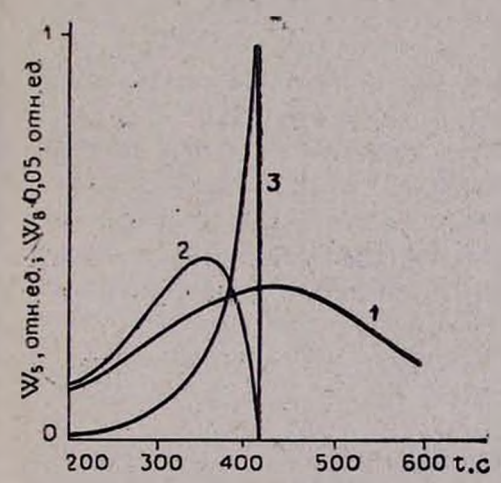


Рис. 3. Зависимость скоростей реакций разветвлений от времени: 1- скорость реакции первого разветвления при отсутствии второго ($K_8=0$), 2- скорость реакции первого разветвления при совместном действия первого и второго разветвлений, 3- скорость реакции второго разветвления для того же случая. Данные приведены для значений констант скоростей: $K_5=80.6$ см³ моль $1-c^{-1}$, $K_8=7.4\cdot 10^{-2}$ с $^{-1}$.

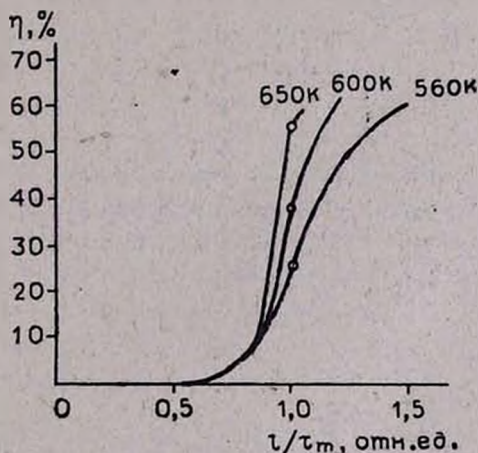


Рис. 4. Кинетические кривые выгорания углеволорода при различных температурах. Значения констант скоростей соответствуют приведенным в табл. 3 и 1.

Интересную особенность модели с «двойным разветвлением» иллюстрирует табл. 2: если при определенных условиях ни одна из реакций разветвления (5) или (8) в отдельности не может обеспечить скольконибудь значительных выгораний, то их взаимовлияние приводит к существенным выгораниям (более 60%). Меньшие значения и большие значения W_{max} получаются при больших значениях K_1 , K_5 , K_8 (рис. 1).

Ta	блица	2
----	-------	---

К ₅ .	K_8, c^{-1}	W _{max} : моль-см ⁻³ -с ⁻¹	*m , c	η, %
5,43-10-1	0	6 · 10 -10	104	30,4
0	$6,1 \cdot 10^{-3}$	4-10-10	1C6	2
5,43.10-1	6,1.10-3	1,4.10-9	104	61

Данные получены при: $K_{18} = 1.8 \cdot 10^{-3} \ c^{-1}$, $K_{17} = 6.4 \cdot 10^{-2} \ c^{-1}$. $K_{18} = 0$.

Влияние начальных условий иллюстрируют табл. З и рис. 4, на котором приводятся кинетические кривые выгорания угловодорода при различных температурах. Как и при вариации константами скорости реакций разветвления (ср. с рис. 1), наблюдается изменение характера кинетических кривых, причем с увеличением температуры сокращается тм, увеличивается выпорание и изменяются соотношения концентраций разветвляющих продуктов и ведущих активных центров.

Таблица 3

<i>т</i> , к	~ m · C	w _{max} , racm/cm ³ ·c	[R'CHO],	[R'CO ₃ H].	[RO ₂].	[R'CO ₃],
560	2,65.105	1,22.1013	4,02-1017	2,43.1012	1,14.1014	2,63.1010
600	1,03-104	4,34.1014	4,31.1017	5,79.1017	4,8 -1014	7,96-1011
-650	6,55.102	2,07-1024	4,53-1017	2,01.1015	2,27.1015	4,22-1013

Двиные получены при: $E_8 = 151.2~\kappa Дж/моль,~E_8 = 184.8~\kappa Дж/моль,$ $K_{15} = 5.9 \cdot 10^{-2}~c^{-1},~K_{18} = 0,~K_{19} = 5.3~c^{-1}.$

Совокупность полученных даяных показывает, что модель с «двойным разветвлением» может объяснить наблюдаемые в цепных разветвленных процессах и, в частности, при окислении углеводородов, случаи достижения мажсимальной окорости как при выгораниях, не превышающих 50%, так и более 50%, а также переход реакции от плавного протекания и резкому.

Выражаем благодарность Б. В. Павлову и А. В. Крестинину за прелоставление программы и помощь при ее оовоении, а также В. И. Веденееву, С. С. Поляк и А. А. Левицкому за обсуждение результатов.

<mark>ՇՂԹԱՑԱԿԱՆ</mark> ՃՑՈՒՂԱՎՈՐՎԱԾ ՌԵԱԿՑԻԱՆԵՐՈՒՄ ՇՂԹԱՆԵՐԻ ՃՑՈՒՂԱՎՈՐՄԱՆ ՄԵԽԱՆԻԶՄԻ ՄԱՍԻՆ

U. U. ACHANCEUL L U. 2. VULPUCEUL

Մաթեմատիկական մոդելավորման մեթոդով, օգտագործելով ԷՀՄ, անալիզի է ենթարկվել ճյուղավորված շղթայական ռեակցիաների կինետիկական
մոդելը, որում ճյուղավորող միջանկյալ նյութը ռադիկալի հետ միաժամանակ
կարող է ծախսվել շղթայական ճանապարհով՝ առաջ բերելով մեկ այլ ակտիվ
մոլեկուլյար նյութ կամ աղատ ռադիկալ, որոնք ի վիճակի են սկսելու նոր
ճյուղավորում՝ առաջինի հետ միաժամանակ։ Ուսումնասիրվել է մոդելի պարամետրերի ազդեցությունը ծախսի կինետիկական կորերի վարդի վրա։ Ցույց
է տրվել, որ «կրկնակի» ճյուղավորման նման մոդելը կարող է բացատրել
շղթայական ռեակցիաներում, մասնավորապես ածխաջրածինների օքսիդացման պրոցեսում, փորձնականորեն դիտվող ռեագենտների ինչպես փոքր (մինչև 50%), այնպես էլ մեծ (50%-ից բարձր) ծախսերը մաքսիմալ արագություններին հասնելու ժամանակ, ինչպես նաև ռեակցիայի անցումը դանդաղ ըն-

ON THE MECHANISM OF CHAIN BRANCHING IN THE CHAIN BRANCHED PROCESSES

A. A. ORIGORYAN and A. A. MANTASHYAN

By the method of mathematical modelling the kinetic model of chain branched reaction has been analyzed, where the branched intermediate product may be consumed by a chain way producing another active molecule of radical, being able in their turn, to start a new branching, simultaneously.

The influence of the model parameters upon the behaviour of the consumption kinetic curves has been studied.

It has been shown that such a "Double Branching" model can account for the experimentally observed consumption of reagents in the chain branched process of less than 50% and more than 50% upon reaching a maximum reaction rate, as well as upon changing the reaction regime from a slowly proceeding to one with the a sharp rise in rate.

ЛИТЕРАТУРА

- Н. Н. Семенов, О некоторых проблемах химической кинетики и реакционной способности, Изд. АН СССР, 1958.
- В. Я. Штерн, Механнзм окисления углеводородов в газовой фазе, Изд. АН СССР, 1960.
- 3. А. В. Крестинин, Канд. дисс., ОИХФ АН СССР, Черноголовка, 1978.
- 4. Б. В. Павлов, А. Я. Повзнер, Ж., выч. мат. н мат. физ., 13, 1956 (1973).
- 5. G. E. Zalkov, J. A. Hovard, K. U. Ingold, Canad J. Chem., 47, 3017 (1969).
- 6. S. W. Benson, Thermochemical Kinetics, Willey, New York, 1968.
- 7. А. Б. Налбандян, А. А. Манташян, Элементарные процессы в медленных газофазных реакциях, Изд. АН Арм.ССР, Ереван, 1975.
- 8. S. W. Benson, J. Amer. Chem. Soc., 87, 972 (1965).
- 9. Л. А. Хачатрян, Канд. дисс., ИХФ АН Арм.ССР. Ереван. 1978.

10. М. А. Тейтельбойм, Л. Б. Романович, В. И. Веденеев, Второе всесоюзи. совещ. по газовой иниетике, Тезисы докладов, Ереван, 1978, стр. 48.

11. В. Н. Кондратьев, Константы скорости газофазных реакций, Изд. «Наука», М., 1970.

12. R. R. Baldwin, R. W. Walker, D. H. Langford, Trans. Faraday Soc., 65, 792 (1989).

13. P. C. P. Cubbon, Progress in Reaction Kinetics, 5, 29 (1970).

14. А. Б. Налбандян, Кин. и квт., 21, 108 (1980).

15. J. A. Kerr, Chem. Rev., 66, 465 (1966).

16. Н. С. Ениколопян, ЖФХ, 30 769 (1956).

Армянский химический журнал, т. 37, № 3, стр. 144—150 (1984 г.)

УДК 539.26+547.624.26+541.69

РЕНТГЕНОСТРУКТУРНОЕ ИССЛЕДОВАНИЕ ГИДРОБРОМИДА В-ДИЭТИЛАМИНОЭТИЛОВОГО ЭФИРА БЕНЗИЛОВОЙ КИСЛОТЫ

Э. Р. АРАКЕЛОВА, А. С. ВАГАНСАРЯН и Р. С. МАНУКЯН

Армянский филиал ВНИИ «ИРЕА», Ереван Поступило 15 XII 1982

Структура $C_{20}H_{24}O_3NHBr$ — аналога лекарственного препарата амизил [1] — определена из трехмерных рядов Паттерсона и уточнена рядами Фурье и методом наименьших квадратов в изотропном приближении до R=0,15. Кристаллы принадлежат триклинной сингонии, пространственная группа $P\bar{1}$, a=8,71 (2), b=16,32 (4), c=7,32 (2) Å, $\alpha=95,7^\circ$ (3), $\beta=95,2^\circ$ (2), $\gamma=87,5^\circ$ (2), Z=2.

Атом азота имеет координацию тетраэдра и связан с Вг водородной связью $N-H\dots$ Вг длиной 3,31 $\mathring{\mathbf{A}}$. В кристалле также присутствует водородная связь $O_3-H\dots$ Вг длиной 3,27 $\mathring{\mathbf{A}}$.

Рис. 2, табл. 3, библ. ссылок 13.

Гидрохлорид β-диэтиламиноэтилового эфира бензиловой кислоты амизил и его гидробромидный аналог относятся к классу синтетических холинолитических препаратов, построенных по типу ацетилхолина, обладающих мускариновой холинолитической активностью.

Проведено полное рентгеноструктурное исследование гидробромида β-диэтиламиноэтилового эфира бензиловой кислоты в плане изучения строения и сопоставления фармакологических свойств амизила, атропина [2] и других холинолитических соединений, а также для выявления минимальных пределов конформационного варьирования взаимного расположения анионных и эстерофильных участков холинорецепторов.

Экспериментальная часть и расшифровка структуры

Моноюристаллы получены из смеси бензола и этилового спирта и представляют собой пластинки, удлиненные вдоль оси с и принадлежащие триклинной сингонии. Кристачлографические данные, полученные методом качания и фотографирования обратной решетки, таковы: